

<技術解說>

臨界孔蝕電位의 適用性에 關한 寄稿

張 賢 球* 譯

A Contribution to the Applicability of Critical
Pitting Potentials

H. P. Leckie**

1. 序論

監化物 水溶液中에서 많은 金屬들은 臨界孔蝕電位(critical pitting potential) V_c 에 對한 開回路腐蝕電位(open circuit corrosion potential)의 相對的인 位置에 따라 不動態를 나타내거나 심한 局部腐蝕을 당한다. 여러 오스테나이트계 및 퀘라이트계 스텐레스鋼을 포함하여 티탄, 알루미늄, 질코니움, 닉켈 및 몇몇 이들 合金들은 이範疇에 속한다. 局部電位 作用이나 外部電源에 依하여 電位를 V_c 보다 더 活性으로 유지되도록 調節한다면, 이들 不動態金屬 및 合金들의 孔蝕은 抑制된다. 金屬溶液間 電位가 V_c 보다 더욱 貴하게 된다면 局部의 侵蝕이 發生할 수 있으며 때때로 周邊에 濃度變化를 초래하여 V_c 를 한층 活性值(active value)로 이동시킨다.

孔蝕過程을 通하여 일어나는, 이와같은 濃度變化는 Pourbaix 等 (1)에 의하여 記述된 하스테리시스效果(hysteresis effects)를 설명할 수 있게 하여 준다. 即, Pourbaix 等은 監化物中 스텐레스鋼의 孔蝕電位와 약간 더 活性值에서 일어나는 再不動態化電位(repassivation potential)를 觀測하였다.

臨界電位의 概念은 새로운 것이 아니며 1937年으로 거슬러 올라가 Brennert (2)에 依하여 breakthrough potential이라는 項으로 처음 보고되었다. 그 후 1947年 mahla 및 Neilson (3)의 研究外에는 5~6年 前까지 거의 없었으며 그 후 상당량이 文獻(4~9)에 나타나고 있다.

Leckie 및 Uhlig의 研究(8)와 Horvath 및 Uhlig의 調査(9)로 부터 18-8 스텐레스鋼 및 알루미-

늄의 臨界孔蝕電位에 미치는 환경因子들의 영향에 關한 상당량의 情報가 얻어졌다. 다른 不動態金屬들에 對한 研究는 限制되었다.

構造材料上에 局部侵蝕이 自然의으로 發生하는 環境에서 孔蝕의 發生 傾向을 빨리 諺言할 수 있는一般的인 方法으로 臨界電位測定이 利用되지 않았다는 것은 약간 놀라운 事實이다. 가끔, 臨界電位測定에 對한 批評이 提起되는 이유는, 이와같은 测定이 單期間의 動的條件(dynamic conditions) 下에서 이루어지며, 이것은 長期間 浸漬時의 動作과는 어울리지 않았다는 것 때문이다.

이 解說의 目的是 1) 臨界孔蝕電位가 當然로 不動態皮膜의 安定度를 결정하는 貴重한 準測을 마련해 준다는 점을 보이고, 2) 等溫變態曲線과 PH—電位(Pourbaix)狀態圖(10)(물론 이들 들은 모두 實際의 아닌 條件을 나타내지만)가 金屬 및 合金들의 热的 및 環境의 영향에 對한 情報를 제공해 주는 것과 마찬가지로 臨界電位가 設計를 위한 材料評價의 有用한 通具로써 사용될 수 있다는 점을 보이는데 있다.

2. 實驗

모든 實驗은 AISI 304 형 스텐레스鋼에 對하여 行하여 졌으며, 이 鋼은 Table 1에 보이는 組成을 갖는다.

鋼棒으로 부터 칼라멘 圓柱形 試片들은 3/0에 1리研磨紙까지 갈아 體積으로 15% HNO_3 , 2% HF, 5% HCl를 含有한 60°C의 溶液에서 5分間 洗滌했다. 試片은 스텐레스鋼만이 環境에 노출되도록 文獻(8)에서 記述된 方式으로 設置하였다.

유리槽에 白金黑을 입힌 白金(platinized platinum)電極을 對極으로 設置하고 Luggin capillary로 鮑爾甘汞補助電極과 연결하였으며 가스 搪拌 및 観察를 為하여 入口를 마련하였다. 電解液은 溶製된 氯化物를 使

* 戎均鎬大學校 理工大學 助教授

** Inland Steel Research Lab. Coated Products Division,
East Chicago, Indiana 46312.

J. Electrochem. Soc., 117, 1152(1970)

用하여 4時間以上 脱氣되었다. 모든 電解液은 再蒸溜水와 試薬用 化學藥品으로 만들었다.

Table 1. Composition of AISI type stainless steel.

Composition	C	Mn	P	S	Si	Cr	Ni	Mo
Per cent	0.05	0.75	0.018	0.015	0.56	18.7	8.8	0.15

分極測定은 Wenking 電極 프로그램머를 연결한 Wenking Potentiostat 를 사용하여 행하였다. 前者는 스캔 속도(scan rate)를 대단히 넓은 範圍로 바꿀수 있게 하여 주었다.

X-Y recorder로 電位 및 電流의 同時測定이 가능하였다.

모든 경우에 있어서 스텐레스鋼 試片은 -1.5V SCE 의 電位에서 5分동안 維持하여 活性化시켰다. 그리고 나서, 電位는 10V/hr의 스캔 속도로 貴한 方向으로 變化시켰으며 -0.3V SCE 에 이르면 다시 15分間 이 電位에서 維持시켜 均一한 不動態皮膜이 形成되도록 하였다. 다시 이 電位에서 여러가지 스캔 속도로 貴한 方向으로 電位를 變化시켜 臨界電位를 測定하였다.

3. 結果 및 檢討

0.1M NaCl 溶液中 304型 스텐레스鋼의 臨界孔蝕電位에 미치는 電位 스캔速度의 影響은 Fig 1에서 보는 바와 같다. 스캔速度를 세段階로 올림에 따라 測定된 臨界電位는 280mV 만큼 變하였다. 스캔速度의 增加는 臨界電位를 貴한 方向으로 變化시키는 結果를 가져 왔다. 낮은 스캔速度에서 臨界電位는 어떤 極限值에 接近한다. 無限大 時間동안 기다려 臨界電位의 絶對值를 測定할 수는 없지만 0.1M NaCl 中 -0.1V SCE 에 유지시킨 304型 스텐레스鋼에는 14週 2350 Hrs 동안 아무런 不動態의 破壞도 일어나지 않았다.

이와같은 資料는 이 材料의 實際的인 臨界孔蝕電位值은 -0.1~ -0.01V 사이에 놓임을 암시하여 준다. 後者는 가장 느린 스캔速度(18mV/hr)로 測定한 값이다. 鹽素이온의 신속한 効力으로 보아 限定된 實驗槽內에서 14週보다 긴 잠복기 (incubation period)가 存在하리라고는 생각되지 않는다.

實際 條件으로 주어진 環境中에서의 孔蝕의 傾向은 臨界孔蝕電位에 對한 腐蝕電位值를 測定하므로 決定된다. 만일 關回路 腐蝕電位가 臨界孔蝕電位보다 더 活性인 欲(安全因子로 50mV 를 허용하여)에 놓으면 그 不動態材料는 孔蝕을 防止하지 않는다고 생각할 수 있다. 이런 方式으로 鹽化物를 含有하는 環境에서 自然히 發

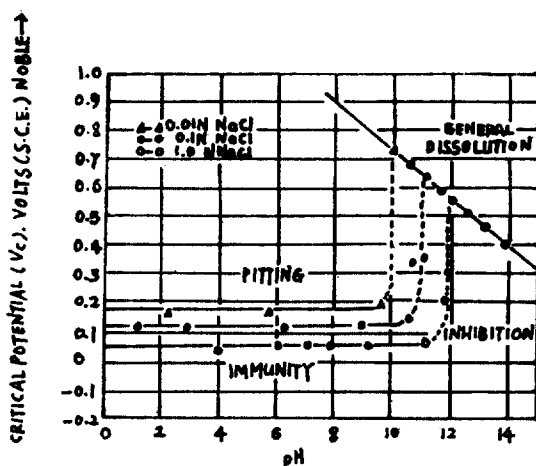


Fig. 1 Effect of Potential Scan Rate on the Value of V_c for Type 304 Stainless steel in 0.1M NaCl

生하는 孔蝕特性을 決定할 수 있다.

合金을 시키던지 腐蝕抑制劑를 使用하던지 하여 臨界電位를 貴한 方向으로 變化시킨다면 孔蝕傾向은 減少하게 된다. 平衡酸素還元電位에 해당하는 電位까지 孔蝕이 생기지 않는다면 局部電池作用으로 發生하는 腐蝕電位는 이 값보다 더 貴하게 될 수 없기 때문에 孔蝕은 抑制될 것이다. 이 때문에 臨界腐蝕電位 ~+12V 인 티탄(11)은 室溫中 外部電位를 加하지 않은 鹽化物溶液內에서 自電의 으로 孔蝕을 防止하지 않는다. 그러므로 臨界電位值는 合金의 孔蝕抵抗을 評價할 수 있는 파라미터를 提供해 준다. 完全한 實驗計劃 및 資料分析을 위한 多重回歸分析法 (multiple regression analysis techniques)의 併用과 함께 臨界電位 測定은 孔蝕에抵抗이 큰 合金을 開發하는데 하나의 道具로 使用될 수 있다.

Fig. 2는 세 가지 서로 다른 鹽素이온濃度의 函數로서 PH가 臨界孔蝕電位에 미치는 影響을 보여 준다. 이 資料는 500mV/Hr의 스캔速度를 使用하여 이미 記述한 方式으로 얻은 것이다. 이 그림은 孔蝕一般腐蝕抑制 및 安全域에 대한 PH-電位範圍를 分明하게 묘사한다. 이 스캔速度에서 臨界電位는 鹽素이온濃度를 열배 減少시킴에 따라 70mV 씩 貴한 方向으로 變化하였다. 電位階段法(potential step technique)을 使用하여 Leckie 및 Uhlig (8)는 同一量 鹽素이온濃度變化에 對하여 90mV 씩 變한다고 報告하였다. 세 가지 鹽化物溶液에서 18~8 스텐레스鋼의 酸性領域에서의 臨界孔蝕電位는 모두 PH에 無關하였다.

알카리 領域에서의 어떤 臨界 PH에서 V_c 는 貴한

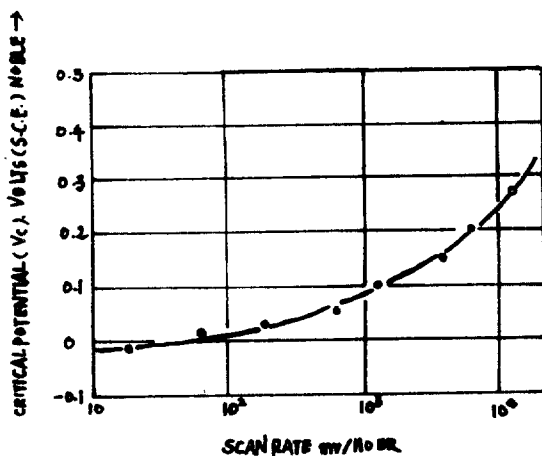


Fig. 2 Effect of pH on V_c for Type 304 Stainless steel in 0.01M, 0.1M, and 1.0M NaCl.

方向으로變化한다. 點線으로 表示한 部分은 대단히 좁은 pH範圍에서 不規則한 孔蝕과一般的 溶解가 일어남을 보인 것으로 이遷移域(transition region)에서 實際臨界電位가 測定될 수 있다고 하더라도 再現性이 없기 때문이다. 그리하여 水酸이온의 添加는 溶解運動을 活性電位에서의 孔蝕으로 부터 貴電位에서의 一般腐蝕 및 다음 反應에 依한 크롬酸形成으로 变化시킨다.



Fig. 2는 이 反應의 電位對 pH의 值이가 鹽素이온濃度에 無關하게 單位 pH當 -0.082V의 值임을 보여 준다. 此 反應式에 依한 值의 計算值는 -0.079V/pH이다. 다른 腐蝕抑制 이온들도 또한 抑制效果에 따라서 어떤 臨界濃度值에서 V_c 를 貴方向으로 变化시킬을 보여 주었다. Leckie 및 Uhlig(8)는 鹽化物中 18-8 스텐레스鋼의 孔蝕을 抑制하는데 있어서 대가지 이온들의 効果는 다음 順으로 減少함을 알아내었다.



Fig. 2에서 보인 바와 같은 圖形은 다른 不動態 金

屬들의 腐蝕挙動을 鹽素이온 및 抑制劑 이온濃度의 函数로서 나타내기 위하여 作成될 수 있다.

4. 結論

著者の見解로는 臨界孔蝕電位 V_c 는 原理面에서 確固不動한 根據를, 實用面에서는 넓은 適用性을 갖는다.

V_c 의 測定은 臨化物 含有 穗匱氣에서 局部侵蝕의 傾向을 빨리豫報할 수 있는 方法을 제공하며 耐孔蝕合金開發에 定量的으로 使用될 수 있는 孔蝕傾向의 파라미터 役割을 담당한다.

REFERENCES

- M. Pourbaix, L. Klimzack-Mathieu, Ch. Mertens, J. Meunier, Cl. Vanleugenhaghe, L. De Munch, Laureys, L. Neelemans and M. Warzu, *Corrosion Sci.*, 3, 75 (1963)
- S. Brennert, *J. Iron and Steel Inst.*, 135, 101 (1973)
- E. M. Mahla and N. A. Neilson, *Trans. Electrochem. Soc.*, 89, 167 (1946)
- E. Brauns and W. Schwenk, *Archiv. Eisenhüttenw.*, 32, 387 (1961)
- G. Herbsleb, *Werkstoffe Korrosion*, 16, 929 (1965)
- N. Tomashov, G. Chernova and O. marcova, *corrosion*, 20, 166t (1964)
- Ya. Kolotyrkin, *ibid.*, 19, 261 t (1963)
- H. P. Leckie and H. H. Uhlig, *J. Electrochem. Soc.*, 113, 1262 (1966)
- J. Horvath and H. H. Uhlig, *ibid.*, 115, 791 (1968)
- M. Pourbaix, "Atlas of Electrochemical Equilibria Aqueous Solutions," Pergamon Press, Cebelcor.
- A. Piggott, H. P. Leckie and L. L. Shreir, *Corrosion Sci.*, 5, 165 (1965)